

I-78 テーパーの著しくつけてあるアーチの応力・変形の解析

東京大学工学部 正員 奥村敏恵
名古屋工業大学 正員 ○松浦 聖

まえがき 2本のアーチが、お互いに各支点では一定の間隔があるが、支点中央では、一体となつているような(図-1, 図-2 参照)テーパーをついた、いわゆるバスケットハンドル形式の構造物に対し、そぞテーパーがかかる構造物の応力・変形その他座屈・振動性状等に与える影響を調べるのは興味ある問題であろう。こゝでは問題を応力・変形に限定し、かゝり解析方法をまず述べることにする。すなはち case Iとして図-1に示すような任意高さに線荷重が作用する場合で、この荷重はアーチに対しては吊橋算によって、各アーチの面内荷重 P として(図-3 参照)作用するものと想えられる。(図-9 参照)(図-3における P' は床組構造が受け持つことになる) すなはちアーチの任意断面の応力・変形の影響線または応力図・変位図を求める計算を示す。つぎに、case IIとして図-2に示すよう(今例えば風荷重のごとき水平(橋軸に対して直角)横荷重を受ける場合)各部断面の応力・変形の計算を示すことにする。なおアーチは円弧アーチで、その断面は円形パイプとし、支点はアーチ面内の回転のみ自由の場合を考えることとする。

1. アーチの座標変位・断面力の符号 アーチの座標系は図-4 のごとくとり、変位・断面力の符号(正)は図-5、図-6 のごとくとする。なおネジリ回転 θ はネジリモーメント M_θ の正の方向と同じにとる。

2. 応力・歪関係式 以上のように応力と変位を定義すると、よく知られた、つぎのような関係式を得る。

$$M_x = G T_r \left(\frac{d\theta}{d\alpha} + \frac{1}{R} \frac{dv}{d\alpha} \right), M_y = E I_y \frac{du}{d\alpha} - \frac{v}{R}, M_z = E I_z \left(\frac{du}{d\alpha} + \frac{v}{R^2} \right), N = EA \left(\frac{du}{d\alpha} - \frac{v}{R} \right) \quad (1)$$

3. アーチ中央の剛節構造に関する考慮 構造物の対称性、および載荷状態により、中央で、図-78 のような応力が考えられる。

4. アーチの鉤合・條件式

case I, i) アーチ AB, $S_y = \frac{dN}{d\alpha} + R P \sin \theta (\sin \frac{\theta}{2} \cos \alpha - \cos \frac{\theta}{2} \sin \alpha), \frac{dS_z}{d\alpha} = -P \cos \theta R, \left. \begin{array}{l} \\ \end{array} \right\} (2)$

$$\frac{dS_y}{d\alpha} + N = +R P \sin \theta (\cos \frac{\theta}{2} \cos \alpha + \sin \frac{\theta}{2} \sin \alpha), S_y = \frac{1}{R} \frac{dM_x}{d\alpha}, M_y = \frac{dM_x}{d\alpha}, S_x = \frac{1}{R} \frac{dM_z}{d\alpha} + R.$$

2) アーチ $\bar{A}\bar{B}$, (2)式で $p = -q$ とすればよい。

case II, (2)式の荷重項を零とおけばよい。

5. アーチの面内変形に対する弾性曲線方程式の解 (1)と(2)等式

の連立方程式の解は(4)等となる。 $F_1 = \frac{EA}{R}, F_2 = \frac{EI_z}{R^2}, f_1 = \frac{2RP \sin \theta}{F_2} \cdot \frac{\theta_1}{\theta_2}, f_2 = \frac{2RP \sin \theta}{F_2} \cdot \cos \theta$

case II, i) アーチ AB, $\left. \begin{array}{l} \frac{du}{d\alpha^2} - F_1 \frac{dv}{d\alpha} + F_2 \frac{d\theta}{d\alpha} + F_2 \frac{dv}{d\alpha} = -RP \sin \theta (\sin \frac{\theta}{2} \cos \alpha - \cos \frac{\theta}{2} \sin \alpha) \\ -F_2 \frac{d\theta}{d\alpha^2} - F_2 \frac{dv}{d\alpha^2} + F_1 \frac{du}{d\alpha} - F_1 v = +RP \sin \theta (\cos \frac{\theta}{2} \cos \alpha + \sin \frac{\theta}{2} \sin \alpha) \end{array} \right\} (3)$

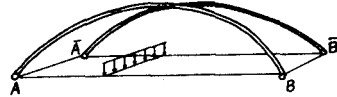


図-1 線荷重載荷状態, case I



図-2 水平横荷重載荷状態, case II

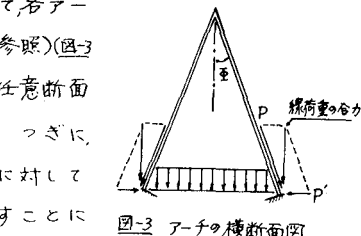


図-3 アーチの横断面図

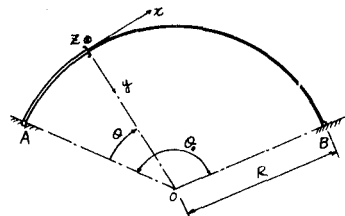


図-4 アーチの実形図

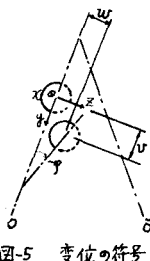


図-5 変位の符号

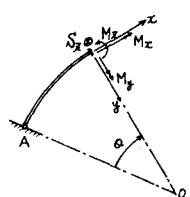


図-6 断面力の符号

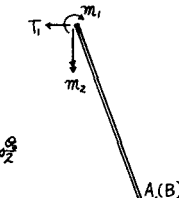


図-7 case Iに対して

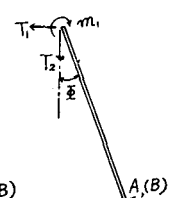


図-8 case IIに対して

$$\begin{aligned} v &= (C_1 + C_2 \theta) \cos \theta + (C_3 + C_4 \theta) \sin \theta + C_5 \theta^2 \sin \theta + \frac{f_3}{8} \theta^3 \cos \theta + \frac{f_4}{8} \theta^4 \sin \theta \\ u &= \frac{F_2}{F_1} \left\{ -2C_2 \cos \theta - 2C_4 \sin \theta + \frac{1}{4} (f_3 \cos \theta - f_4 \sin \theta) - \frac{1}{4} f_3 (\theta \sin \theta + f_4 \cos \theta) \right. \\ &\quad \left. + C_1 \sin \theta (\cos \theta + \theta \sin \theta) - C_3 \cos \theta + C_4 (\sin \theta - \theta \cos \theta) + C_5 \theta + C_6 \right. \\ &\quad \left. + \frac{f_3}{8} (2\theta \sin \theta - (\theta^2 - 2) \cos \theta) \right\} + \frac{f_4}{8} \left\{ 2\theta \cos \theta + (\theta^2 - 2) \sin \theta \right\} \end{aligned} \quad (4)$$

2) アーチ $\bar{A}\bar{B}$ に対する \bar{U}, \bar{V} は(4)式で荷重の項を $p = -q$ とおけばよい。

case I, その \bar{U}, \bar{V} は(4)式で荷重項を零にすればよい。

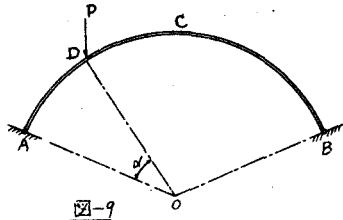


図-9

6. 断面力について

5. て求まつた変位を(1)式に代入すれば S_y, N, M_z 等は決定できる。

7. 機分常数の決定

境界条件として、それそれつきのようになる。

case I, つぎの応力変位についている I, II, III は、それぞれ図-9における AD, DC, CB 部分における値を示めしてある。未知数 18 に対し、つぎの 18 の条件式から決定される。

$$\begin{aligned} (U_{I})_{\theta=0} &= (U_{I})_{\theta=\pi} = (M_{I})_{\theta=0} = 0, (U_{II})_{\theta=0} = (U_{II})_{\theta=\pi} = 0, (U_{III})_{\theta=0} = (U_{III})_{\theta=\pi} = 0, \\ (N)_{\theta=0} &= P \sin \left(\frac{\theta}{2} - \alpha\right) = (N_{II})_{\theta=0}, (M_{II})_{\theta=0} = (M_{II})_{\theta=\pi}, (U_{II})_{\theta=\frac{\theta}{2}} = (U_{II})_{\theta=\frac{\theta}{2}}, (V_{II})_{\theta=\frac{\theta}{2}} = (V_{II})_{\theta=\frac{\theta}{2}}, \left(\frac{dU_{II}}{d\theta}\right)_{\theta=\frac{\theta}{2}} = \left(\frac{dV_{II}}{d\theta}\right)_{\theta=\frac{\theta}{2}} = P \cos \left(\frac{\theta}{2} - \alpha\right) + (S_{II})_{\theta=\frac{\theta}{2}} \\ (N)_{\theta=\pi} &= P \sin \left(\frac{\theta}{2} - \alpha\right) = (N_{II})_{\theta=\pi}, (M_{II})_{\theta=\pi} = (M_{II})_{\theta=0}, (U_{II})_{\theta=\frac{\theta}{2}} = (U_{II})_{\theta=\frac{\theta}{2}}, (V_{II})_{\theta=\frac{\theta}{2}} = (V_{II})_{\theta=\frac{\theta}{2}}, \left(\frac{dU_{II}}{d\theta}\right)_{\theta=\frac{\theta}{2}} = \left(\frac{dV_{II}}{d\theta}\right)_{\theta=\frac{\theta}{2}} = (S_{II})_{\theta=\frac{\theta}{2}} - T_1 \sin \theta + (S_{II})_{\theta=\frac{\theta}{2}} \end{aligned} \quad (5)$$

case II, 1) アーチ AB

$$(N_x)_{\theta=0} = (N_x)_{\theta=\pi}, (M_x)_{\theta=0} = (M_x)_{\theta=\pi} = 0, (M_{xx})_{\theta=0} = (M_{xx})_{\theta=\pi} = 0, (M_{xz})_{\theta=0} = (M_{xz})_{\theta=\pi} = 0, (M_{zx})_{\theta=0} = (M_{zx})_{\theta=\pi} = 0$$

$$(U)_{\theta=0} = (U)_{\theta=\pi} = (M_z)_{\theta=0} = \left(\frac{dU}{d\theta}\right)_{\theta=0} = 0, -P \sin \theta R \frac{\theta}{2} - \frac{1}{2} T_1 \sin \theta + \frac{1}{2} T_2 \cos \theta + (N)_{\theta=0} \sin \frac{\theta}{2} - (N_y)_{\theta=0} \cos \frac{\theta}{2} = 0 \quad (6)$$

2) アーチ $\bar{A}\bar{B}$ 式(6)で $p = -q, T_2 = -T_1$ とおきかえねばよい。

8. アーチの面上に垂直方向の変形に対する弾性曲線方程式の解

(1), (2)式等から求められる、つぎの連立方程式等を解けばよい。ここで $F_3 = \frac{GJ_r}{R}, F_4 = \frac{EI_r}{R}$ とおく。

$$case II, 1) アーチ AB \quad F_3 \frac{d^2\varphi}{d\theta^2} + \frac{F_3 d^2w}{d\theta^2} + \frac{F_3 d^2v}{d\theta^2} - F_4 \varphi = 0, -\frac{F_3 d^2w}{d\theta^2} + \frac{F_3 d^2v}{d\theta^2} + F_3 \frac{d^2\varphi}{d\theta^2} + \frac{F_3 d^2w}{d\theta^2} = -P \cos \theta R^2 \quad (7)$$

$$\therefore \varphi = (C'_1 + C'_2 \theta) \cos \theta + (C'_3 + C'_4 \theta) \sin \theta - \frac{F_3 + F_4}{F_3 F_4} \cos \theta R^2, w = -C'_1 R \cos \theta + C'_2 R \left\{ -\theta \cos \theta + \frac{2F_3}{F_3 + F_4} \sin \theta \right\} - C'_3 R \sin \theta - C'_4 R \left\{ \theta \sin \theta + \frac{2F_4}{F_3 + F_4} \cos \theta \right\} \quad (8)$$

2) アーチ $\bar{A}\bar{B}$ 変位 $\bar{\varphi}, \bar{w}$ は(8)式の荷重の項で $p = -q$ とおけばよい。 $-\frac{\cos \theta R^2 p}{2F_3} \theta^2 + C'_5 \theta + C'_6$

case I, その φ, w は(8)式で荷重の項を零とおけばよい。

なお、 N_x, M_z, M_y 等は(1)式を使えば決定できる。

9. 機分常数の決定

case I, 応力変位のことで I, II, III は図-9 の AC, CB 部分での、その値を示す。

$$(U_I)_{\theta=0} = (U_I)_{\theta=\pi} = \left(\frac{dw}{d\theta}\right)_{\theta=0} = 0, (U_{II})_{\theta=0} = (U_{II})_{\theta=\pi} = 0, (U_{III})_{\theta=0} = (U_{III})_{\theta=\pi} = 0, \left(\frac{dU_I}{d\theta}\right)_{\theta=0} = \left(\frac{dU_I}{d\theta}\right)_{\theta=\pi} = 0 \quad (9)$$

$$case II, 1) アーチ AB \quad (W)_{\theta=0} = (\varphi)_{\theta=0} = \left(\frac{dw}{d\theta}\right)_{\theta=0} = 0, (S_x)_{\theta=0} = \frac{1}{2} T_1 \cos \theta + \frac{1}{2} T_2 \sin \theta + P \cos \theta R \frac{\theta}{2} \quad (10)$$

$$(M_x)_{\theta=0} \sin \frac{\theta}{2} + (M_x)_{\theta=0} \cos \frac{\theta}{2} = \frac{m}{2} - \frac{1}{2} R T_1 \cos \theta - \frac{1}{2} R T_2 \sin \theta$$

アーチ $\bar{A}\bar{B}$ 式(10)で $p = -q, T_2 = -T_1$ とおきかえねばよい。

10. m_1, m_2, T_1, T_2 の決定

以上の求められた応力変位を表わす式に含まれてある機分常数の中の未知量 m_1, m_2, T_1, T_2 はつぎの変形の連續条件を考慮すれば決定される。

$$case I, (\varphi)_{\theta=0} = 0, \left(\frac{dw}{d\theta}\right)_{\theta=0} = 0, (w)_{\theta=0} = \tan \theta (U)_{\theta=0} \quad (11)$$

$$case II, (\varphi)_{\theta=0} + (\bar{\varphi})_{\theta=0} = 0, (W)_{\theta=0} + (\bar{w})_{\theta=0} = \tan \theta (U)_{\theta=0} + (\bar{U})_{\theta=0}, [(W)_{\theta=0} - (\bar{w})_{\theta=0}] \tan \theta = (\bar{U})_{\theta=0} - (U)_{\theta=0} \quad (12)$$

11. 数値計算の一例 $R = 50m$, スパン 60m, バイアス外径 50cm, 肉厚 1cm, スパン中央鉛直に P 載荷,

$$G = 0.1539 P - 0.0471 T_1, G = -0.09112 P + 0.0478 T_1, G = 0.0836 P - 0.04628 T_1, G = 0.0780 P - 0.02205 T_1, G = 0.0760 P + 0.045 T_1, G = -0.1153 P - 0.0104 T_1, G = -2.226 \cdot 10^{-3} m - 1.889 \cdot 10^{-3} P - 1.409 \cdot 10^{-3} T_1$$

$$G = -0.2993 \cdot 10^{-3} m + 0.1920 \cdot 10^{-3} P + 1.433 \cdot 10^{-3} T_1, C'_1 = -1.969 \cdot 10^{-3} m - 0.9711 \cdot 10^{-3} P - 5.054 \cdot 10^{-3} T_1, C'_2 = -1.083 \cdot 10^{-3} P + 8.006 \cdot 10^{-3} T_1, C'_3 = -1.113 \cdot 10^{-3} m - 0.8271 \cdot 10^{-3} P - 0.8271 \cdot 10^{-3} T_1, C'_4 = 0, m_1 = 14.138 P, T_1 = -0.1178 P$$

文献岡本洋三、軸線を含む面に垂直な荷重を受けた円形曲り梁の研究、土木学会誌 97 卷 3 号、昭和 18 年 3 月